

الگوریتم جستجوی تابو برای تعیین پارامترهای ثابت معیارهای گسیختگی سنگ

مهمشی عمان شرف، (ایرانستان ۱۳۹۶) دوری ۳، شماره ۲/۲، ص. ۲۵-۳۳.

الله آذر (کارشناس ارشد)

محمد ناجی (کارشناس ارشد)

منصور پرویزی * (استادیار)

دانشکده مهندسی عمران، دانشگاه پاسج

روند ایجاد معیارهای شکست سنگ و نیز دقت آن‌ها در پیش‌بینی مقاومت سنگ تحت تنشی‌های مختلف، نشان‌دهنده عملکرد مناسب معیارهای موجود در ارزیابی ویژگی‌های مقاومتی سنگ است. عدم جواب‌گویی دقیق معیارهای تئوریک برای پیش‌بینی مقاومت سنگ برای اغلب سنگ‌ها به عمل ماهیت طبیعی ذاتی سنگ‌ها به اثبات رسیده است. همچنین ارائه معیارهای تجربی نیز مستلزم انجام مطالعات و انجام آزمون‌های سه‌محوری بر روی سنگ‌های مختلف است. در نوشتار حاضر، معیارهای شکست مهم سنگ از جمله: هوك - براون، فرانکلین و بنیاویسکی، به عنوان معیارهای تبریزی پوکاربرد در زمینه‌ی مهندسی سنگ انتخاب و سپس با استفاده از الگوریتم بهینه‌سازی تابو ثابت‌های هر معیار تعیین شده است. نتایج مطالعه‌ی حاضر نشان می‌دهد که استفاده از بهینه‌سازی تابو در به دست آوردن پارامترهای انواع معیارها می‌تواند پوش گسیختگی بهتری را برای شکست سنگ ایجاد کند. همچنین اصلاح فرمولاسیون معیار گسیختگی فرانکلین نیز انجام شده است.

eazar111@gmail.com
mahmood.naj167@gmail.com
parvizi@yu.ac.ir

وازگان کلیدی: معیار شکست، معیارهای تجربی، مقاومت سنگ، برازش منحنی (رگرسیون)، بهینه‌سازی.

۱. مقدمه

معمولًاً هدف از ایجاد محل یا محیطی برای تعیین خصوصیات کارهای زیرزمینی با ایجاد یک مدل سه‌بعدی جهت تعیین اطلاعات توپوگرافی، خاک، سنگ‌شناختی توده‌سنگ، زمین‌شناختی ساختاری، هیدرولوژی و اطلاعات مکانیکی، از جمله تنش توده‌سنگ احداث می‌شود.^[۱]

خواص فیزیکی - مکانیکی توده‌سنگ‌ها، پارامترهای مهمی در طبقه‌بندی آن‌ها و در طراحی عملیات مهندسی است. در غالیت‌های مهندسی شناخت و تهییه اطلاعات دقیق از انواع معیارهای مقاومتی و پارامترهای رفتاری توده‌سنگ بسیار ضروری و مهم است. جهت تحلیل پایداری یک فضای سنگی، تنش‌های اصلی اطراف آن با یک معیار گسیختگی مورد مقایسه قرار می‌گیرد.

در مطالعه‌ی حاضر، معیارهای مهم مختلف شکست سنگ اعم از نظری و تجربی در نظر گرفته می‌شود. اگرچه معیارهای نظری و تئوریک از لحاظ درک بهتر موضوع ضروری و مهم هستند، ولی کاربرد آنها در عمل محدود است و در طراحی ها بیشتر از معیارهای تجربی استفاده می‌شود.

در یک طرح زوتکنیکی نیز شناخت و جمع‌آوری اطلاعات دقیق در ارتباط با تعیین پارامترهای توده‌سنگ که شاخص قدرت و رفتار است، لازم و حیاتی است. در زمینه‌های مهندسی، تنش‌هایی که به حد خودنهایی رسیده‌اند، تعیین‌کننده‌ی معیار شکست است.^[۲]

از جمله سوال‌های اساسی که در بررسی عدم شکست سنگ‌ها مطرح می‌شود، این است که: آیا تنش‌های ایجاد شده در سنگ از مقدار مقاومت مجاز سنگ کمتر است؟ آیا کرنش‌های ایجاد شده در اثر تنش‌های مذکور برای سازه قابل قبول است و بهره‌برداری از آن را دچار مشکل نمی‌کند؟ برای پاسخ به دو سؤال مهم ذکر شده، شناخت رفتار سنگ و معیارهای خوبی و شکست آن لازم است. سنگ‌ها تحت بارهای فشاری، کششی، برشی و خمشی می‌توانند به شکست برسند. معمولاً تنش‌های ترکیبی به سنگ اعمال می‌شود و انواع شکست‌ها را در سنگ ایجاد می‌کنند. به عنوان مثال، در سقف معادن و تونل‌ها، اگر سنگ‌ها لایه‌بی باشند، ممکن است شکست خمشی رخ دهد. در محدوده‌ی مذکور، ترک‌های کششی در اثر خمش در تارهای تحتانی گسترشی می‌باشد، تا جایی که به شکست خمشی منجر می‌شوند. در کناره‌های بازشدنی‌ها ممکن است شکست برشی رخ دهد. در هنگام حفاری سنگ‌ها، معمولاً آن‌ها تحت اثر فشار خرد و سیس با شکست برشی تکه‌های سنگ جدا می‌شوند، همچنین در شب‌های سنگی ممکن است شکست کششی اتفاق بیفتد. با بزرگ‌شدن اندازه‌ی نمونه، میزان ترک‌ها افزایش و مقاومت توده‌ی سنگ کاهش می‌یابد.

* نویسنده مسئول تاریخ: دریافت ۱۰، ۱۳۹۳، ۱۲، ۱، صلاحیه ۱۳۹۴، ۹، ۱، پذیرش ۵، ۱۰، ۱۳۹۴.

متفاوت است. همچنین نتیجه‌گیری شده است که در بیشتر سنگ‌ها، مدل یادبود و همکاران پوش گسیختگی با خطای کمتری ارائه می‌دهد.^[۷] همچنین در سال ۲۰۱۲، یک مدل جهت پیش‌بینی مقاومت فشاری تک‌محوری (UCS)^[۸] ایجاد شده است، که با استفاده از تعیین شبکه‌ی عصبی رگرسیون GRNNs^[۹] آماده‌سازی شده و درنهایت این نتیجه به دست آمده است که در سال ۲۰۱۲ به خوبی می‌تواند مقاومت فشاری تک‌محوری را پیش‌بینی کند.

^[۸] در بخش ۳ به معنی معرفی می‌باشد.

نیز مطالعاتی جهت پیش‌بینی مدول کشسانی سنگ بکر از طریق شبکه‌ی عصبی مصنوعی انجام و از شبکه‌ی عصبی مصنوعی و ۱۹۵ داده‌ی آزمایشگاهی استفاده شده و نتیجه‌ی نهایی نشان داده است که این روش می‌تواند به صورت عملی مورد استفاده قرار گیرد.^[۱۰]

۳. معیارهای مهم گسیختگی سنگ

از درباره معیار شکست مصالح زمین‌شناسی به عنوان شاخصی مغاید جهت ارزیابی ویژگی‌های مقاومتی سنگ شناخته شده و مورد استفاده و تحلیل قرار گرفته است. معیارهای شکست با نظریه کلمب در سال ۱۷۷۳ میلادی آغاز شده و نتیجه گرفته شده است که مقاومت پرشی به چسبندگی و تنش نرم‌مال بستگی دارد و بعد از ایشان موهر در سال ۱۸۸۲، یک روش گرافیکی برای نشان دادن حالت تنش در یک نقطه معرفی کرده است.^[۱۱] در ادامه، با ترکیب فرضیات کلمب و موهر، معیار معروف موهر-کلمب معرفی شده است، که این معیار هم برای خاک و هم برای سنگ مورد استفاده قرار گرفته است. در سال ۱۹۲۴، گریفیت نظریه‌یی برای اجسام شکستنده معرفی و از دایرمه موهر برای معرفی معیار گسیختگی خود استفاده کرده است.^[۱۲] بعد از آن پژوهشگران بسیاری،^[۱۳] به اصلاح نظریه‌ی گریفیت پرداخته و معیارهای گسیختگی جدید خود را معرفی کرده‌اند. در ادامه، معیارهای تجریبی با استفاده از نظریه‌های پیشین بسیاری بر روی سنگ بکر و درزه‌دار به معرفی معیارهای زیادی با انجام آزمایش‌های بسیاری برآورده شده است.^[۱۴] همچنین،^[۱۵] فرانکلین،^[۱۶] بنیاوسکی،^[۱۷] و بالمر را می‌توان نام برد.

علاوه بر این، معیار موهر-کلمب در مقاومت کششی تک‌محوری توده‌سنگ طبق رابطه‌ی ۱ مورد استفاده قرار می‌گیرد:^[۱۸]

$$\sigma_1 = \sigma_{cm} + K\sigma_2 \quad (1)$$

که در آن، σ_{cm} مقاومت تراکمی تک‌محوری توده‌سنگ، و K شیب خط نمودار σ_1 نسبت به σ_2 است. معیار فون میسنس جزء معیارهای سه‌بعدی برای شکست سنگ است، که روابط ۲ الی ۵ مربوط به آن است.^[۱۹]

$$J_2 = \frac{\sigma_1}{3} \quad (2)$$

$$J_2 = \frac{1}{3}(S_1^r + S_2^r + S_3^r) = \frac{1}{3} \left[(\sigma_1 - S)^r + (\sigma_2 - S)^r + (\sigma_3 - S)^r \right] \quad (3)$$

$$S = \sigma_{ocr} = \frac{1}{3}(\sigma_1 + \sigma_2 + \sigma_3) \quad (4)$$

$$\sigma'_1 = \sigma_1 / \sigma_c \quad (5)$$

که در آن‌ها، $\sigma_{1,2,3}$ تنش‌های اصلی، S_1 و S_2 تنش‌های انحرافی کمینه و بیشینه، J_2 ثابت دوم تنش انحرافی و σ_{cr} تنش فون میسنس است.

در طول ۵ دهه‌ی گذشته، به منظور شبیه‌سازی رفتار سه‌محوری نمونه‌های سنگ، چندین معیار تجربی ارائه شده است که فقط تعداد محدودی از آنها عمومیت یافته‌اند. شکل تابع در معیارهای مذکور متفاوت بوده و در هر کدام، ثابت‌های جداگانه‌ی برای برآورد مقاومت هر نوع سنگ تعریف شده است. ساختار نوشتار حاضر این‌گونه طراحی شده است که ابتدا پیشینه‌ی پژوهش در بخش ۲ ارائه شده است. در بخش ۳ به معنی معرفی معیارهای مورد استفاده پرداخته شده است. بخش ۴، به معرفی روش جستجوی تابو و نحوه عملکرد آن و کارهای انجام‌شده با روش تابو پرداخته است. در بخش ۵، داده‌های مربوط به رفتار توده‌سنگ‌های استفاده‌شده در پژوهش حاضر ارائه شده است. در بخش ۶، پارامترهای معیارهای گسیختگی با الگوریتم جستجوی تابو بهینه‌سازی تابو به تعیین پارامترهای معیارهای مهم گسیختگی سنگ و مقایسه‌ی آن با روش رگرسیون پرداخته شده است.

روش بهینه‌سازی تابو، به دلیل انعطاف‌پذیری مطلوب و سرعت بالای آن در حل مسائل مختلف مهندسی ژئوتکنیک قابل استفاده است، که البته تاکنون در مهندسی ژئوتکنیک استفاده نشده و پژوهش حاضر، کاربرد آن را برای اولین بار در زمینه‌ی مکانیک سنگ بررسی کرده است.

۲. پیشینه‌ی پژوهش

تاکنون در زمینه‌ی معیارهای گسیختگی، مطالعات زیادی انجام شده است، اما تعداد مطالعات خیلی کمی در رابطه با بهینه‌سازی آن‌ها انجام شده است. مطالعات انجام‌شده عبارت‌اند از: مطالعاتی در سال ۱۳۸۶، که به مقایسه‌ی کارایی معیارهای تجریبی شکست بر مبنای تحلیل مقدار عدم قطعیت ثابت‌های هر معیار پرداخته و با محاسبه‌ی فواصل اطمینان، ثابت‌های دو معیار بنیاوسکی و هوک و براون اصلاح و معیار جدیدی برای مقایسه‌ی کارایی معیارهای مذکور ارائه شده است.^[۲۰] در سال ۱۳۷۸، نیز به مقایسه‌ی دقت معیارهای تجریبی موهر-کلمب، هوک و براون، و بنیاوسکی در بررسی شکست سنگ و همچنین ارائه‌ی یک مدل جدید غیرخطی به روش تقریب کمینه‌ی مربuat پرداخته شده و این نتیجه به دست آمده است که یک چندجمله‌ی درجه دوم با داشتن ۳ مجھول، بهترین تطابق را با داده‌های آزمایشگاهی خواهد داشت.^[۲۱] در سال ۱۳۸۹، نیز از شبکه‌ی عصبی برای تخمین پارامتر S در معیار هوک و براون برای سنگ‌های غیرهمسان برای اجتناب از انجام آزمایش و محاسبات استفاده شده و نتایج بررسی‌های ایشان نشان داده است که میزان خطای شبکه‌ی عصبی قابل قبول است.^[۲۲]

همچنین در سال ۲۰۰۲، پژوهشی با عنوان ارزیابی آماری معیار شکستگی سنگ پکر با آزمایش چندمحوره برای چند نوع سنگ مختلف، ۷ معیار تحلیلی مورد بررسی قرار گرفته و این نتیجه به دست آمده است که اگر داده‌های آزمایش سه‌محوری در دسترس باشد، می‌توان اثر σ_2 را در گسیختگی چندمحوره در نظر گرفت. نتایج دو نوع از ۳ نوع سنگی که به شیوه‌ی مذکور مورد بررسی قرار گرفته است، امیدوارکننده بوده است.^[۲۳]

در سال ۲۰۰۹، نیز به مقایسه‌ی معیارهای گسیختگی سنگ بکر با استفاده از روش‌های مختلف آماری پرداخته شده و ۴ معیار گسیختگی سنگ با ۳ روش آماری مختلف مورد مقایسه قرار گرفته و این نتیجه به دست آمده است که با استفاده از روش‌های مختلف آماری مورد استفاده، پارامترهای به دست آمده از هر روش با یکدیگر

۴. روش جستجوی تابو (TS)

معیار دراکر - پراگر معیارهای سه بعدی برای شکست سنگ است که روابط ۶ الی ۱۰ مربوط به آن است.^[۱۶]

$$J_1^{1/2} = a + b J_1 \quad (6)$$

$$J_1 = \frac{1}{3} (\sigma_1 + \sigma_2 + \sigma_3) \quad (7)$$

$$a = \frac{\sqrt{3}\sigma_c}{q+2} \quad (8)$$

$$b = \frac{\sqrt{3}(q-1)}{q+2} \quad (9)$$

$$q = \frac{1 + \sin \varphi}{1 - \sin \varphi} \quad (10)$$

در پژوهش حاضر، ۳ معیار گسیختگی تجربی فرانکلین، هوك و براون، و بنیاوسکی به عنوان سه معیار پرکاربرد در مکانیک سنگ جهت بهینه سازی و تعیین ثابت های آنها انتخاب شده اند.

معیار فرانکلین با برازش منحنی و آزمایش تجربی بر روی ۵۰ نمونه سنگ بکر ارائه شده و با ۷ معیار گسیختگی گوناگون برای سنگ های بکر و درزه دار مورد مقایسه قرار گرفته است. در ارائه معیار مذکور به بهترین منحنی و سادگی معادله معیار توجه شده است.^[۱۷] رابطه معیار گسیختگی فرانکلین مطابق معادله ۱۱ است:

$$\sigma_1 = \sigma_2 + \sigma_c^{1-\beta} (\sigma_1 + \sigma_2)^{\beta} \quad (11)$$

معیار هوك براون^[۱۸] با استفاده از کاربرد نظریه گریفیت و برازش منحنی تجربی برای توده سنگ های بکر و بسیار درزه دار بررسی و پس از آن در چندین نوبت توسعه هوك و همکارانش اصلاح شده است، که می توان به اصلاح معیار ذکر شده در سال های ۱۹۸۰، ۱۹۸۸، ۱۹۹۲، ۲۰۰۲ اشاره کرد. اما برای سنگ های بکر، معیار مذکور دست نخورده باقی مانده است.^[۱۹] رابطه معیار گسیختگی بنیاوسکی را نشان هوك براون را نشان می دهد:

$$\sigma_1 = \sigma_2 + (m \cdot \sigma_c \cdot \sigma_2 + s \cdot \sigma_c^{\beta})^{1/2} \quad (12)$$

معیار بنیاوسکی^[۲۰] که ابتدا توسط بنیاوسکی ارائه و سپس اصلاح شده و به شکل کنونی درآمده است، با برازش منحنی تجربی برای ۷۰ نمونه توده سنگ بکر و بسیار درزه دار تعیین شده است. رابطه ۱۳ معیار گسیختگی بنیاوسکی را نشان می دهد:

$$\sigma_1 / \sigma_c = a + b (\sigma_1 / \sigma_c)^{\alpha} \quad (13)$$

که در آن، σ_1 تنی بیشینه در آزمایش سه محوری، σ_2 تنی کمینه در آزمایش سه محوری، σ_c مقاومت فشاری نک محوری سنگ بکر، β ثابت معیار فرانکلین، m و a ، b ، α ثابت های معیار هوك - براون، s ثابت معیار بنیاوسکی است.

در پژوهش حاضر، معادله معیار فرانکلین و هوك - براون با دو روش بهینه سازی با الگوریتم آن در نرم افزار متلب نوشته شده است. در روش ذکر شده، ابتدا تابع پژوهش، الگوریتم آن کی از معیارهای است، به تابو داده شده و ثابت ها به عنوان متغیر در هدف که معادله هی کی از معیارهای است، به تابو داده شده و ثابت ها به عنوان متغیر در تابع هدف تعریف شده است. سپس با وارد کردن داده های آزمایشگاهی به الگوریتم تابو، بهترین ثابت ها به عنوان خروجی برای بهترین برازش به دست آمده است. در ادامه، الگوریتم جستجوی تابو توسعه یافته از جستجوی محلی تشریح شده است.

گام ۱. یک جواب اولیه ای امکان پذیر در فضای امکان پذیر مسئله انتخاب و قرار داده می شود.

گام ۲. شمارنده افزایش می یابد. یک همسایگی برای جواب اولیه تعیین و سپس یک زیرمجموعه از جواب ها تولید می شود. نکته ای قابل توجه در تعریف همسایگی

عملکرد روش تابو در فضای پیوسته مورد سنجش قرار گرفته است.

همواره در داشش مهندسی، مسائل بهینه سازی و تصمیم گیری های پیچیده بی پدیدار می شوند، که حل آنها با استفاده از روش های کلاسیک ریاضی دشوار و در باره بی موارد ناممکن است. مجموعه عظیمی از روش های بهینه سازی توسعه پژوهشگران بسیاری در زمینه های متفاوت پیشنهاد شده اند، که تمامی آن ها از یک سری ایده های ساده نشأت می گیرند (گاهی از طبیعت) و براساس اندکی ویژگی خاص از هم تقسیک می شوند. در این میان، روش های بهینه سازی عددی مبتنی بر تکرار، کاربرد فرلان دارد و در بسیاری از مسائل بهینه سازی، مؤثر ترین روش حل محسوب می شوند. در عمل برای بسیاری از مسائل بهینه سازی مهندسی، یک روش عمومی مشخص جهت دست یابی مستقیم به پاسخ بهینه وجود ندارد. بهمین دلیل است که شیوه های بهینه سازی زیادی تاکنون معترض شده و همچنان در حال توسعه اند. از این بین، روش هایی که انعطاف پذیری بیشتری در مقابل طیف وسیعی از مسائل بهینه سازی داشته باشند، اهمیت ویژه بی دارند.

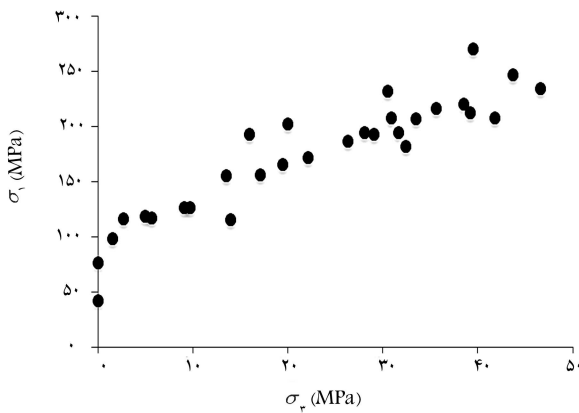
جستجوی تابو (TS)، با توجه به ویژگی های قابل توجهی که دارد، قادر است به عنوان ابزار قدرتمندی در بهینه سازی مسائل دشوار بکار رود. اگرچه همچون بسیاری از روش های کاوشی و فراکاوشی، راه مشخصی جهت اثبات همگرایی فرایند حل وجود ندارد، اما موقوفیت های چشمگیری که از کاربرد این روش در مسائل بهینه سازی مختلف حاصل شده است، پژوهشگران را به استفاده و توسعه بیشتر این روش تشویق می کنند.

روش جستجوی تابو از توسعه ای روش های ساده جستجوی محلی (همسایگی) به منظور فرار از دام اکسترم های محلی به وجود می آید. روش های جستجوی همسایگی طی یک فرایند تکراری به شناسایی و ارزیابی نقاط همسایگی یک حل اولیه (جوابی) که در ابتدا کاربر را در روند بهینه سازی قرار می دهد) می پردازند و سپس با انتخاب یک نقطه متناسب تر در همسایگی می توانند محدود به یک جهت مشخص در هر تکرار باشد، به این معنی که در هر تکرار تعداد نقاط محدودی در همسایگی تولید و مورد ارزیابی قرار می گیرد (Direct search) و یا بررسی همسایگی نقطه مورد نظر به صورت کامل انجام می پذیرد (Decent search)، که این مورد حالت کامل تری از جستجو را فراهم می آورد و نوع اول را نیز در بر می گیرد. انتخاب هر یک از این دو روش در هسته ای مرکزی جستجوی تابو، تابعی از مشخصات و ابعاد مسئله و البته سلیقه ای کاربر است. در شکل ۱، روند کاوش توسط الگوریتم جستجوی تابو نشان داده می شود.

در پژوهش حاضر، با استفاده از روش جستجوی تابو (TS) به بهینه سازی معیارهای گسیختگی مذکور پرداخته شده است. برای استفاده از روش جستجوی تابو در این هدف که معادله هی کی از معیارهای است، به تابو داده شده و ثابت ها به عنوان متغیر در تابع هدف تعریف شده است. سپس با وارد کردن داده های آزمایشگاهی به الگوریتم تابو، بهترین ثابت ها به عنوان خروجی برای بهترین برازش به دست آمده است. در ادامه، الگوریتم جستجوی تابو توسعه یافته از جستجوی محلی تشریح شده است.

گام ۱. یک جواب اولیه ای امکان پذیر در فضای امکان پذیر مسئله انتخاب و قرار داده می شود.

گام ۲. شمارنده افزایش می یابد. یک همسایگی برای جواب اولیه تعیین و سپس یک زیرمجموعه از جواب ها تولید می شود. نکته ای قابل توجه در تعریف همسایگی

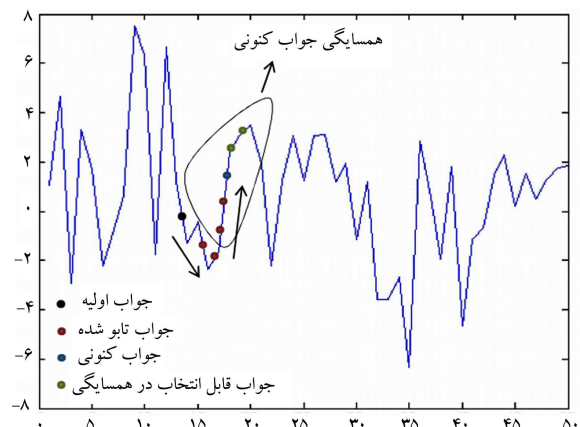


شکل ۲. پراکندگی داده‌های آزمایش سه محوری برای نمونه‌ی سنگ آهک (Lim-stone).

(الف) نمونه‌ی سنگ اول (Limestone): پراکندگی داده‌های آزمایش سه محوری مربوط به این نمونه سنگ در شکل ۲ نشان داده شده است.^[۱۷] ضریب همبستگی شخصی است که میزان رابطه‌ی بین متغیرها را نشان می‌دهد. یک ملاک مناسب برای تعیین همبستگی دو متغیر کمی ضریب همبستگی پرسون است، که در نمونه آن را با r_{xy} نشان می‌دهند. با به توان ۲ رساندن ضریب همبستگی، مقدار ضریب تعیین (R^2) بین دو متغیر بدست می‌آید. ضریب تعیین نشان می‌دهد که چند درصد تغییرات متغیر وابسته توسعه متغیر مستقل تبیین می‌شود. این ضریب در رگرسیون کاربرد زیادی دارد. برای نمونه‌ی سنگ آهک ($Limestone$), $R^2 = 0,92$ ضریب همبستگی هر چه به ۱ نزدیکتر باشد، قوی‌تر است، که در نمونه‌ی مذکور نزدیک به ۱ است. ضریب تعیین نشان می‌دهد که چند درصد تغییرات متغیر وابسته توسعه متغیر مستقل تبیین می‌شود، $R^2 = 0,85$ ، یعنی حدود ۸۵٪ از داده‌ها با مدل تبیین شده است. پوش گسیختگی به دست آمده از ضرایب مربوط به نمونه‌ی سنگ اول در شکل ۳ ارائه شده است. در نمونه‌ی سنگ اول، ضرایب ثابت معیار گسیختگی فرانکلین $\beta = 0/67$ و $\alpha = 0,95$ ، $b = 2,454$ و $c = 0,974$ با ترتیب:

(ب) ضرایب ثابت معیارهای - باون به ترتیب $m = 7,222$ و $s = 0,926$ به دست می‌آید. نمونه‌ی سنگ دوم (Sandstone): پراکندگی داده‌های آزمایش سه محوری مربوط به این نمونه سنگ در شکل ۴ نشان داده شده است.^[۱۷] پوش گسیختگی به دست آمده از ضرایب مربوط به نمونه‌ی سنگ دوم در شکل ۵ ارائه شده است. برای نمونه‌ی سنگ دوم آهک (Sandstone)، $R^2 \approx 0,90$ است. ضریب همبستگی هر چه به ۱ نزدیکتر باشد قوی‌تر است، که در این نمونه نزدیک به ۱ است. ضریب تعیین نشان می‌دهد که چند درصد تغییرات متغیر وابسته توسعه متغیر مستقل تبیین می‌شود. $R^2 \approx 0,90$ ، نشان می‌دهد که تقریباً ۹۰٪ از داده‌ها با مدل تبیین شده است. در نمونه‌ی سنگ دوم، ضرایب ثابت معیار گسیختگی فرانکلین $\beta = 0,88$ و $\alpha = 0,963$ و پارامترهای ثابت معیار بنیاوسکی به ترتیب: $b = 1,080$ ، $a = 1,084$ و $m = 12,871$ به دست آمده است.

(ج) نمونه‌ی سنگ سوم (مطالعه‌ی مردمی): پراکندگی داده‌های آزمایش سه محوری مربوط به این نمونه‌ی سنگ در شکل ۶ نشان داده شده است. پوش گسیختگی به دست آمده از ضرایب مربوط به نمونه‌ی سنگ سوم در شکل ۷ ارائه شده است.



شکل ۱. روند کاوش توسط الگوریتم جستجوی تابو.

لیست حل‌های تابو است و عبارت است از تعداد محدودی از آخرین جواب‌های ملاقات شده (حافظه‌ی کوتاه‌مدت) و یا کلیه‌ی جواب‌های تکرارهای قبلی (حافظه‌ی بلندمدت).

گام ۳. بهترین جواب به گونه‌ی یافته می‌شود که به ازاء هر جواب، شرط $f(k) \leq f(j)$ برقرار باشد. سپس جواب در لیست تابو قرار می‌گیرد.

گام ۴. اگر یکی از شروط همگرایی (قابل تعریف توسعه کاربر) رخ دهد، جستجو متوقف و در غیر این صورت به گام ۲ باز می‌گردد.

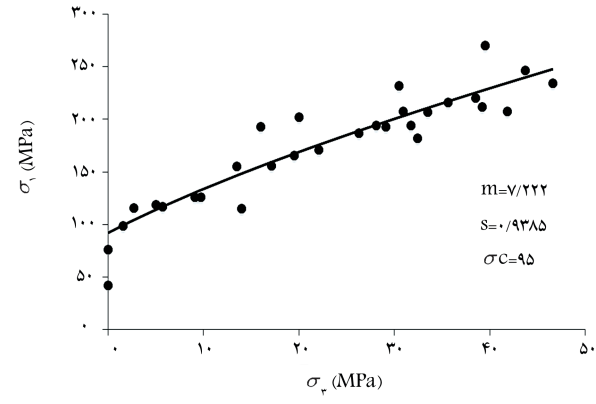
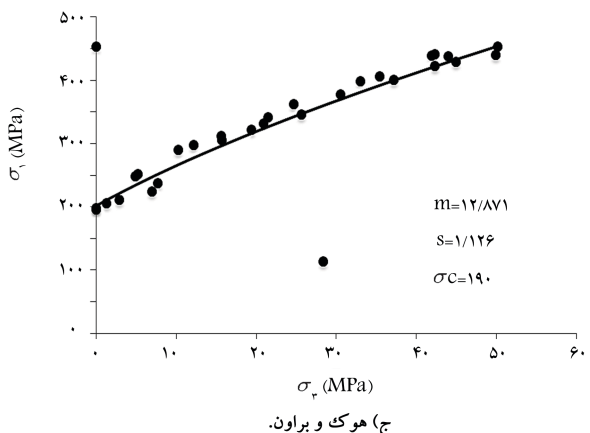
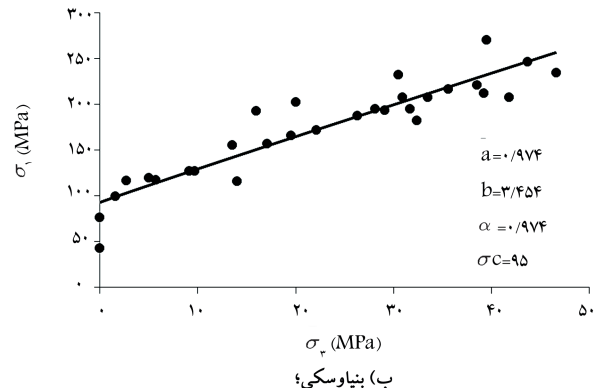
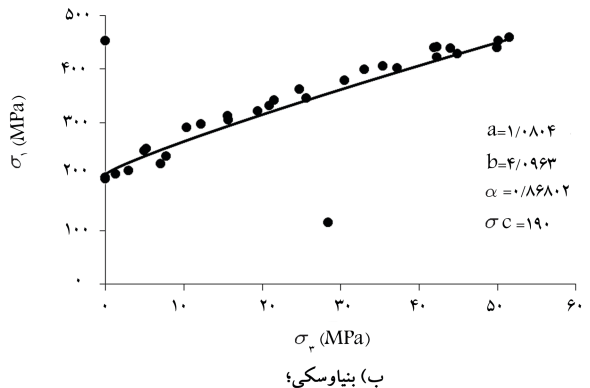
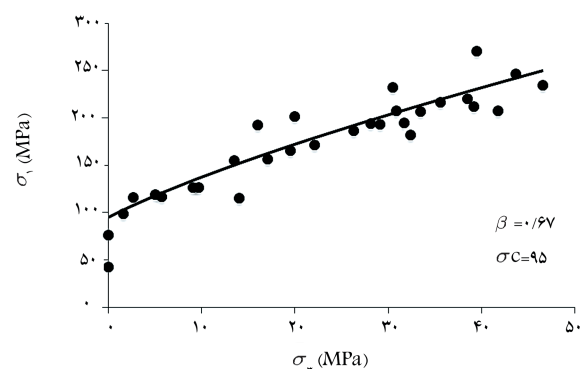
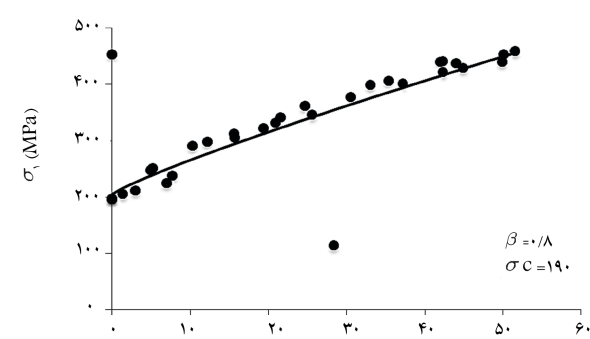
با توجه به مفهوم الگوریتم جستجوی تابو، که قبلاً به آن اشاره شده است، این نکته قابل ذکر است که در زمینه‌ی مهندسی ژئوتکنیک، تاکنون از این روش بهینه‌سازی استفاده نشده است.

۵. داده‌های ژئوتکنیکی توده‌های سنگ انتخاب شده در پژوهش

در پژوهش حاضر از نتایج آزمایش سه محوری ۳ نمونه‌ی سنگ استفاده می‌شود. سنگ اول از جنس Limestone (سنگ آهک) که از ۳۰ داده مربوط به $\sigma_1 = 95 Mpa$ و $\sigma_2 = 60 Mpa$ استفاده شده است، نمونه‌ی سنگ دوم، از جنس Sandstone (سنگ ماسه) است، که شامل ۳۱ داده مربوط به $\sigma_1 = 90 Mpa$ و $\sigma_2 = 60 Mpa$ است.^[۱۵] نمونه‌ی سنگ سوم، داده‌های آزمایشگاهی مربوط به تونل انتقال آب سبزکوه - چغاخر در ۷۰ کیلومتری جنوب شهرکرد در استان چهارمحال و بختیاری از جنس سنگ‌های آهک و شیل و مارن است. ۷۰ داده مربوط می‌گیرد.

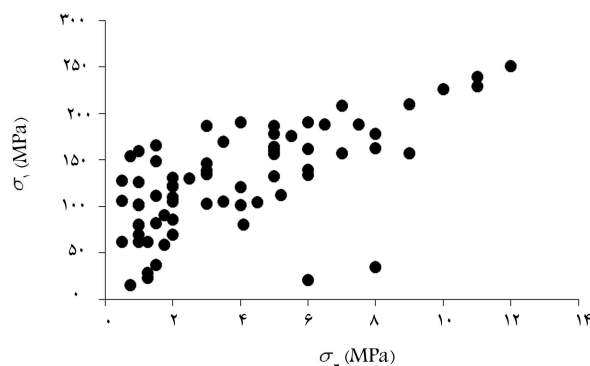
۶. الگوریتم جستجوی تابو جهت تعیین پارامترهای معیارهای گسیختگی

در این بخش برای داده‌های موجود ۳ نمونه‌ی سنگ ذکر شده، ابتدا پراکندگی داده‌های آزمایش ۳ محوری ترسیم و سپس با استفاده از الگوریتم تابو، که جزئیات آن ارائه شده است، ثابت‌های ۳ معیار گسیختگی معرفی شده به دست آمده است.

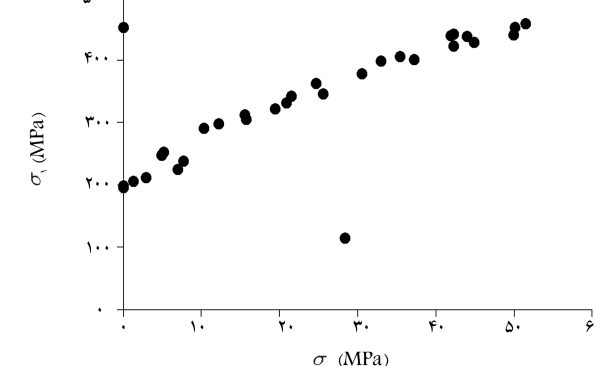


شکل ۵. پوش گسیختگی به دست آمده از روش بهینه‌سازی تابو برای نمونه‌ی سنگ ماسه‌سنگ (Sandstone).

شکل ۳. پوش گسیختگی به دست آمده از روش بهینه‌سازی تابو برای نمونه‌ی سنگ آهک (Limstone).



شکل ۶. پراکندگی داده‌های آزمایش سه‌محوری برای نمونه‌ی سنگ سوم.



شکل ۴. پراکندگی داده‌های آزمایش سه‌محوری برای نمونه‌ی سنگ (Sandstone).

جدول ۱. ثابت‌های هر معیار به دست آمده با روش جستجوی تابو.

نمونه‌ی			ثابت‌ها	معیار
سوم	دوم	اول		
۸۳,۸۸۵	۱۲,۸۷۱	۷,۲۲۲۲	M	هوک و براون
۱,۵۲۷۳	۱,۱۲۶	۰,۹۳۸۵	S	
۰,۹۴۰۲۱	۰,۷۹۹۳۱	۰,۶۶۸۶۱	B	فرانکلین
۶۰,۷	۱۹۰	۹۵	σ_c	
۱/۲۷۶	۱/۰۸۰۴	۰/۹۷۴	A	
۱۰/۲۰۳	۴/۰۹۶۳	۳/۴۵۴	B	بنیاوskی
۰,۸۹۶	۰,۱۸۶۰۱	۰,۹۷۴	A	

جدول ۲. مقایسه‌ی MSE در روش رگرسیون و جستجوی تابو.

MSE			
روش	نمونه‌ی سنگ	مدل	
تابو	رگرسیون		
۷۷۳,۲	۲۷۷,۴۹	اول	
۶۴۹۸,۰۲	۴۳۴۳,۲۴	دوم	هوک و براون
۳۷۴۱,۰۹	۲۶۶۸,۳۴	سوم	
۴۹۱۱,۹۹	۲۰۲۴,۷۶	اول	فرانکلین

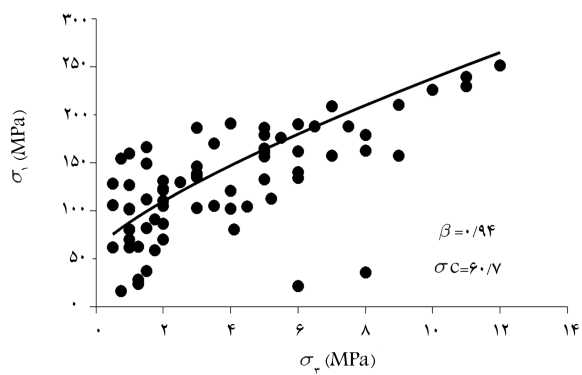
۷. تجزیه و تحلیل

براساس نتایج حاصل از الگوریتم تابو، داده‌های آزمایش ۳ محوری سه نمونه سنگ بهینه‌سازی شدند و پارامترهای ۳ معیار گسیختگی هوک و براون، فرانکلین و بنیاوskی به دست آمده‌اند. ثابت‌های به دست آمده برای هر معیار و برای هر نمونه سنگ می‌تواند به عنوان خواص هر نوع سنگ بیان شود، که این ثابت‌ها در جدول ۱ ارائه شده است. در ادامه، ثابت‌های معیار هوک برای هر ۳ نمونه و معیار فرانکلین نمونه‌ی سوم به روش رگرسیون نیز تعیین و در نهایت، پوشش به دست آمده به‌کمک روش بهینه‌سازی تابو با روش رگرسیون در شکل‌های ۸ تا ۱۱ ترسیم شده‌اند. سپس با استفاده از روش‌های ریاضی مجموع مربعات خطای (SSE) و میانگین مجموع مربعات خطای (MSE)، صحت هر معیار برای هر نمونه‌ی سنگ مورد سنجش قرار گرفته و در پایان نیز با توجه به مقادیر به دست آمده از روش‌های ریاضی، معیار مناسب‌تر برای هر نمونه‌ی سنگ از روابط ۱۴ و ۱۵ مقادیر خطای برای هر معیار به دست آمده است.

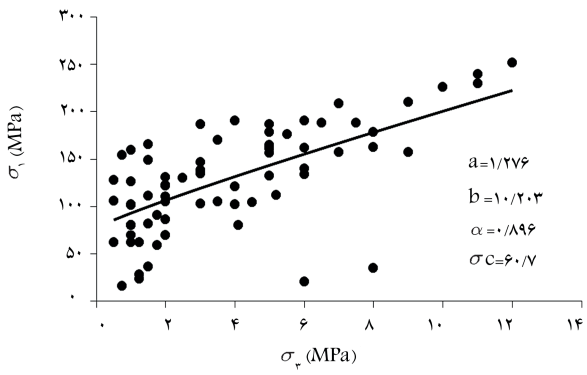
$$SSE = [EER(f)] = \sum_{j=1}^{j=n} (\sigma_1^e - \sigma_1^p)^2 \quad (14)$$

$$MSE = [EER(f)] = \frac{SSE}{n} \quad (15)$$

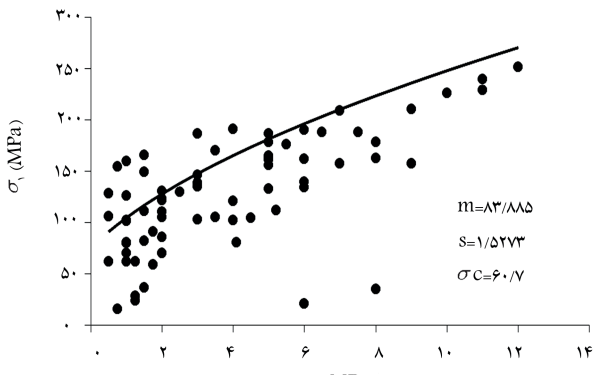
از شکل‌های ارائه شده و نیز جدول ۲، می‌توان به توانایی روش‌های بهینه‌سازی و بهویژه روش تابو پی برد که با استفاده از روش تابو در زمان بسیار کوتاه، می‌توان پوش گسیختگی شکست سنگ را با کمترین خطای نسبت به روش‌های ریاضی و به خصوص روش متداول رگرسیون تعیین کرد، که این موضوع می‌تواند مهندس طراح را در زمینه‌ی سنگ مورد مطالعه، بسیار یاری دهد و نیز می‌تواند با توجه به پارامترهای به دست آمده در هر معیار و پوش گسیختگی بهتر، رفتار سنگ و دیگر



(الف) فرانکلین؛



(ب) بنیاوskی؛



(ج) هوک و براون.

شکل ۷. پوش گسیختگی به دست آمده از روش بهینه‌سازی تابو برای نمونه‌ی سنگ سوم برای معیارهای تجزیه و تحلیل.

برای نمونه‌ی مطالعه‌ی موردی $r_{xy} = ۰,۸۵$ ضریب همبستگی هرچه به ۱ نزدیک‌تر باشد، قوی‌تر است، که در این نمونه نزدیک به ۱ است. $R^2 = ۰,۷۲$. ضریب تعیین نشان می‌دهد که چند درصد تغییرات متغیر وابسته توسط متغیر مستقل تبیین می‌شود و در اینجا نشان می‌دهد که حدود ۷۲٪ از داده‌ها با مدل تبیین شده‌اند. در نمونه‌ی سنگ سوم، ضرایب ثابت معیار گسیختگی فرانکلین: $\beta = ۰,۹۴$ و $a = ۱/۲۷۶$ و پارامترهای ثابت معیار بنیاوskی به ترتیب $m = ۸۳,۸۸۵$ و $s = ۱/۵۲۷۳$ ، ضرایب ثابت معیار هوک - براون به ترتیب $m = ۰,۸۹۶$ و $s = ۱۰,۲۰۳$ ، ضرایب ثابت معیار $\sigma_c = ۶۰,۷$ و $\alpha = ۱/۵۲۷۳$ می‌آید.^[۱۸]

جدول ۳. مقادیر MSE در معیارهای شکست.

نمونه‌ی (MSE)	معیار		
	سوم	دوم	اول
۲۶۶۸,۳۴	۴۳۴۳,۲۴	۳۷۷,۴۹	هوک و براون
۲۰۲۴,۷۶	۴۷۲۶,۰۹	۳۹۵,۲۱	فرانکلین
۱۶۸۵,۹۳	۴۳۲۴	۴۱۳,۸۱	بنیاوسکی

جدول ۴. کمینه‌ی مقادیر MSE و معیار مناسب.

MSE	کمینه‌ی	معیار مناسب	نمونه
۳۷۷,۴۹		هوک و براون	اول
۴۳۲۴		بنیاوسکی	دوم
۱۶۸۵,۹۳			سوم

پارامترهای مقاومتی سنگ را با درصد خطای بسیار کمتری تخمین زد. در نتیجه می‌توان چنین گفت که روش جستجوی تابو هم از نظر دقیق و هم از نظر زمان برای استفاده در کارهای مهندسی زوتکنیک می‌تواند بسیار پرکاربرد باشد. پارامترها و نمودارهای پوش گسیختگی به دست آمده حاکمی از این امر است که بهینه‌سازی به روش تابو می‌تواند در فضای پیوسته نیز بسیار کاربردی و مفید باشد، همچنین پژوهش حاضر شمان می‌دهد که روش بهینه‌سازی تابو، که تاکنون در زمینه‌های زوتکنیک و مکانیک سنگ استفاده نشده است، می‌تواند به عنوان ابزار قدرتمندی در حل مسائل مختلف مربوط به زوتکنیک مورد استفاده قرار گیرد.

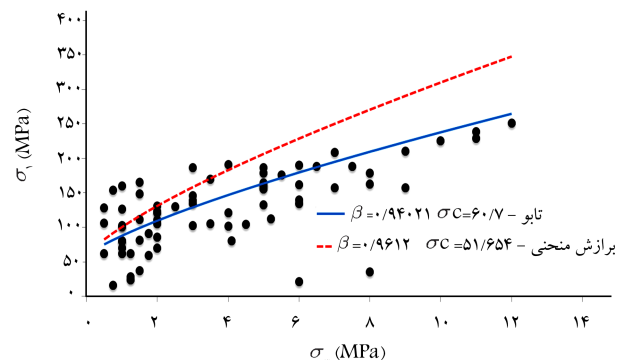
طی بررسی‌های انجام‌شده با توجه به جدول ۳ و در نهایت جدول ۴، کمترین خطای هر معیار و در نتیجه بهترین معیار برای هر نمونه سنگ تعیین شده است. در هر نمونه‌ی سنگ، نتایج بدین شرح است:

۱. در نمونه‌ی سنگ آهک (limestone)، معیار هوک و براون نسبت به دیگر معیارها پیش‌بینی بهتری به دست داده است.
۲. در نمونه‌ی ماسه‌سنگ (sandstone)، معیار بنیاوسکی نسبت به دیگر معیارها پیش‌بینی بهتری به دست داده است.
۳. در نمونه‌ی سنگ سوم (مطالعه‌ی موردي)، نیز معیار بنیاوسکی نسبت به دیگر معیارها پیش‌بینی بهتری به دست داده است.

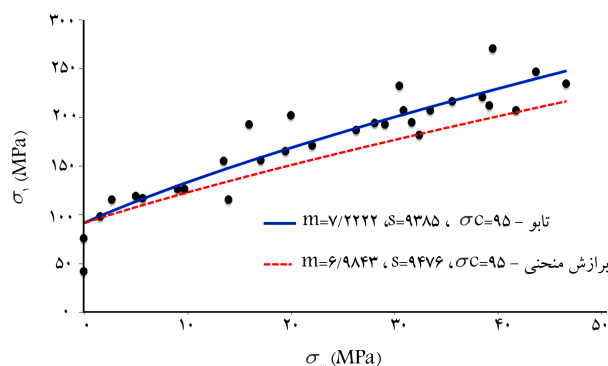
در مجموع مشاهده می‌شود که معیار بنیاوسکی از نظر درستی و به دست دادن پوش گسیختگی از دو معیار فرانکلین و هوک و براون، نتایج بهتری حاصل شده است که عمدی دلیل آن شکل معادله‌ی اصلی، سه پارامتری بودن آن و داشتن پارامتر توانی در این معیار شکست است. در این معیار، به دلیل پیچیدگی در حل آن به روش رگرسیون، ثابت a برابر ۱، ثابت b برابر a ، قرار داده می‌شود، اما با توجه به نتایج به دست آمده در پژوهش حاضر، مشاهده می‌شود که ثابت a برای هر سنگ عددی منحصر به فرد است و برابر ۱ نیست.

۸. معیار گسیختگی فرانکلین اصلاح شده

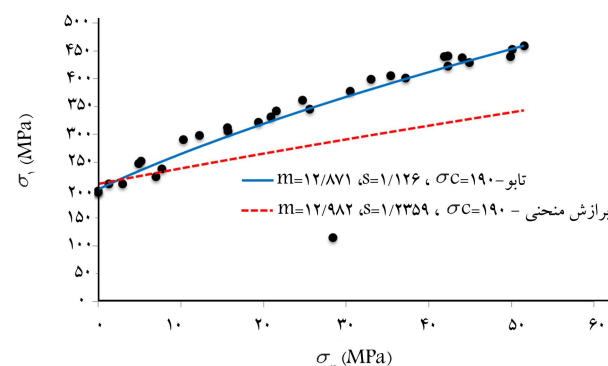
معیار فرانکلین، که براساس رابطه‌ی ۱ تعریف شده است، بخش مهمی از پژوهش حاضر است. رابطه‌ی ۱، تک‌پارامتری است و طی بررسی‌های انجام‌شده، اضافه شدن



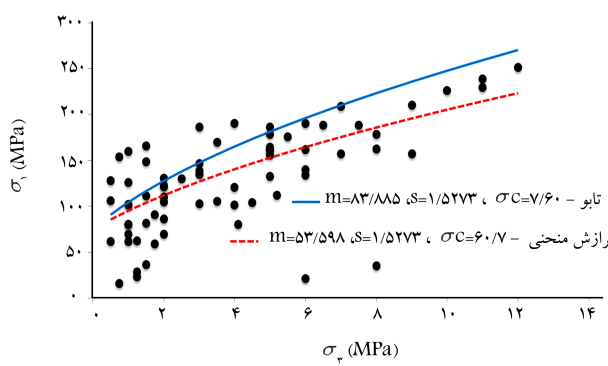
شکل ۸. مقایسه‌ی نتایج رگرسیون و تابو برای مدل فرانکلین (نمونه‌ی سنگ سوم).



شکل ۹. مقایسه‌ی نتایج رگرسیون و تابو برای مدل هوک و براون (نمونه‌ی سنگ اول).



شکل ۱۰. مقایسه‌ی نتایج رگرسیون و تابو برای مدل هوک و براون (نمونه‌ی سنگ دوم).



شکل ۱۱. مقایسه‌ی نتایج رگرسیون و تابو برای مدل هوک و براون (نمونه‌ی سنگ سوم).

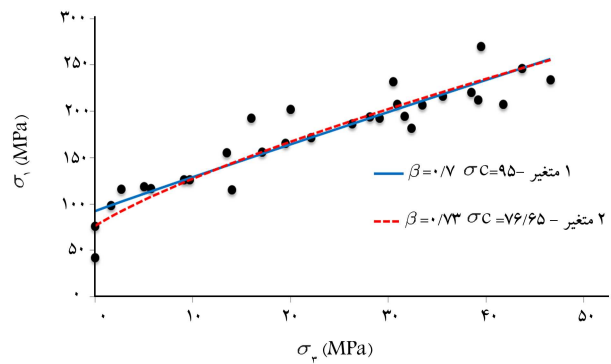
$$\sigma_1 = \sigma_2 + (\alpha\sigma_C)^{1-\beta}(\sigma_1 + \sigma_2)^\beta \quad (16)$$

با به دست آوردن پارامترهای مربوط به فرم جدید معیار فرانکلین، جواب‌های بسیار مناسب‌تری برای پوش گسیختگی به دست آمده است. برای حصول اطمینان از عملکرد این معادله‌ی جدید، نمونه‌ی سنگ اول و نمونه‌ی سنگ سوم مورد بررسی قرار گرفته است، که با توجه به خطای به دست آمده می‌توان نتیجه گرفت که از رابطه‌ی جدید به دست آمده از معیار فرانکلین، پوش گسیختگی بهتری با خطای کمتری حاصل می‌شود. در شکل‌های ۱۲ و ۱۳، می‌توان مقاومت این فرم جدید و فرم اصلی معیار فرانکلین را برای نمونه‌ی سنگ اول و سوم مشاهده کرد. در جدول ۵، نیز خطای به دست آمده در فرم جدید و فرم اصلی مورد مقایسه قرار گرفته است. پارامتر α در فرم جدید ارائه شده، ضریب تصحیح مقاومت فشاری در معیار فرانکلین نامگذاری شده است، که با محاسبات انجام شده، مقدار آن برای سنگ نمونه‌ی اول (limestone) 80.68° و برای سنگ نمونه‌ی سوم (مطالعه‌ی موردي) 85.1° به دست آمده است.

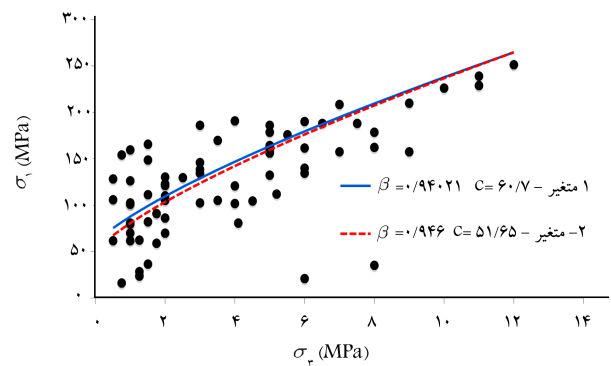
۹. نتیجه‌گیری

نتایج به دست آمده در پژوهش حاضر نشان می‌دهد که استفاده از الگوریتم‌های بهینه‌سازی، در مقایسه با بارش مخزنی (رگرسیون) می‌تواند پوش گسیختگی را برای سنگ‌های متفاوت به طور قابل ملاحظه‌ی بیشتر پیش‌بینی کند، که سبب شناخت رفتار توده‌سنگ مورد مطالعه و نیز کمک به تصمیم‌گیری بهتر مهندسان طراح در برخورد با این توده‌سنگ‌ها می‌شود. به دست آوردن دقیق پارامترهای هر معیار و به دست آوردن بهترین پوش گسیختگی هر معیار پژوهشگران را در استخراج پارامترهای دیگر سنگ از قبیل تشکیل، تشخیص محدودشده، و پیش‌بینی مدول کشسانی سنگ یاری می‌کند.

همچنین با درنظرگرفتن پارامتر جدید در معیار فرانکلین، نتایج حاصل بسیار قابل قبول‌تر است. با توجه به تعیین پوش گسیختگی در هر ۳ معیار مورد مطالعه در پژوهش حاضر مشاهده می‌شود که معیار بناآسکی در پیش‌بینی پوش گسیختگی، خطای کمتری نسبت به دیگر معیارها داشته است و همچنین روش جستجوی تابو (TS) در به دست آوردن ثابت‌های هر معیار می‌تواند به عنوان ابزاری قدرتمند مورد استفاده قرار گیرد. همچنین می‌توان از روش بهینه‌سازی مذکور به دلیل انعطاف‌پذیری مطلوب و سرعت بالای آن در حل مسائل مختلف مهندسی ژئوتکنیک بهره‌گرفت. قابل ذکر است تاکنون در مهندسی ژئوتکنیک از این روش استفاده نشده است.



شکل ۱۲. نتایج بررسی معیار فرانکلین (نمونه‌ی اول).



شکل ۱۳. نتایج بررسی معیار فرانکلین (نمونه‌ی سوم).

جدول ۵. مقادیر MSE در معیارهای شکست.

نمونه‌ی	معیار فرانکلین	
	اول	سوم
۱ متغیر	۲۰۲۴, ۷۶	۳۹۵, ۲۱
۲ متغیر	۱۹۸۷, ۸۲	۳۷۸, ۲۰

پارامتری دیگر در معادله‌ی مذکور خطای مربوط به این معیار را کمتر می‌کند. با بررسی چند معیار دیگر، این نتیجه حاصل شده است که این پارامتر جدید باید عدد 50° را اصلاح کند. درنهایت با درنظرگرفتن چند حالت مختلف ریاضی برای معادله‌ی مذکور، معیار فرانکلین به شکل معادله‌ی ۱۶ بازنویسی شده است:

پانوشت‌ها

1. unconfined compressive strength
2. generalized regression neural networks

منابع (References)

1. Stephansson, O. and Zang, A. "ISRM suggested methods for rock stress estimation", *Rock Mech. Rock Eng.*, **45**(6), pp. 955-969 (2012).
2. Haimson, B. and Bobet, A. "Introduction to suggested methods for failure criteria", *Rock Mech. Rock Eng.*, **45**(6), pp. 973-974 (2012).

3. Khandan, K.H., Hussain, M.F., and Parsley, A. "Comparison of experimental failure criteria based on an analysis of each criterion fixed amount of uncertainty", *3ed Conference of Rock Mechanics, Amirkabir University of Technology*, Tehran (24-26 October 2008).
4. Ghasemzadeh, H. and Jahangir, M.H. "Comparison of experimental measurements Mvhrkvimb, Hoek and Brown and Bnyavsky in rock failure to investigate and present a new model using a nonlinear least-squares approximation", *4th National Congress on Civil Engineering*, Tehran University (May 2009).
5. Hakimi pour, R., Norozzade, A. and Bagheri, A.M.H. "Estimation of S Hoek-Brown criterion for anisotropic rocks using artificial neural networks", *5th National Congress on Civil Engineering*, Ferdowsi University of Mashhad (14-16 May 2011).
6. Colmenares, L.B. and Zoback, M.D. "A statistical evaluation of intact rock failure criteria constrained by polyaxial test data for five different rocks", *International Journal of Rock Mechanics & Mining Sciences*, **39**(6), pp. 695-729 (2002).
7. Das, S.K. and Basudhar, P.K. "Comparison of intact rock failure criteria using various statistical methods", *Acta Geotechnica*, **4**(3), pp. 223-231 (2009).
8. Ceryan, N., Okkan, U. and Kesimal, A. "Application of generalized regression neural networks in predicting the unconfined compressive strength of carbonate rocks", *Rock Mech. Rock Eng.*, **45**(6), pp. 1055-1072 (2012)
9. Ocak, I. and Seker , S.E. "Estimation of elastic modulus of intact rocks by artificial neural network", *Rock Mech. Rock Eng.*, **45**(6), pp. 1047-1054 (2012).
10. Griffith, A.A. "The theory of rupture in: Biezeno CB, burgers JM (eds), *Proceedings of the 1st International Congress for Applied Mechanics*, Delft. J. Waltman Jr., Delft, pp. 55-63 (1924).
11. Franklin, J.A. and Hoek, E. "Development in triaxial testing technique", *Rock Mechanics*, **2**(4), pp. 223-228 (1970).
12. Hoek, E. and Brown, E.T. "Empirical strength criterion for rock masses", *Geotechnical Engineering Division*, **106**(9), pp. 1013-1035 (1980).
13. Bieniawski, Z.T. "Estimating the strength of rock materials", South Africa Institute of Minning and Metallurgy, pp. 312-320 (1974).
14. Hoek, E. and Brown, E.T. "Empirical strength criterion for rock masses", *Geotechnical Engineering Division*, **106**(9), pp. 1013-1035 (1980).
15. Baudard, B.D. and Cazacu, O. "Role of the plastic flow of the matrix on yielding and void evolution of porous solids: Comparison between the theoretical response of porous solids with Tresca and von Mises matrices", *Mechanics Research Communications*, **56**, pp. 69-75 (2014).
16. Drucker, D. and Prager, W. "Soil mechanics and plastic analysis or limit Design", *Quarterly of Appl. Math*, **10**(2), pp. 157-165 (1952).
17. Hoek, E. and Brown, E.T., *Underground Excavation in Rock*, Institute of Mining and Metallurgy, London (1980).
18. Mirzaai, M., "Water conveyance tunnel Sabzkoh-Choghakhor", Mahab Qods Consulting Engineers (2012).